

## II-3 ピアソンⅠ型分布曲線による潮位の計画水面について

日本大学理工学部 正員 久宝 雅史  
 " " 竹次 三雄

### 1 まえがき

潮汐は確率的な変動ではあるが、いま、潮位を統計的に取り扱うことが許されると仮定して、潮位の分布を求める。両端有限の鉛錐状となり、この分布をピアソンⅠ型分布曲線<sup>(1), (2)</sup>と示すと、かなり満足できる結果を得る。5年間の解析より、1年間毎の潮位のピアソンⅠ型分布曲線が毎年ほとんど同じ分布曲線になり、各港の潮位分布曲線は1年間のデータによる潮位分布曲線で実用的には十分であると認められる。<sup>(3)</sup> このようにして、日本沿岸にありの各港の潮位分布がピアソンⅠ型分布曲線であらわされるとすれば、海岸および港湾構造物の設計上<sup>(4)</sup>、経済的・合理的な潮位が、その確率度量に応じて選ぶことができる、また、海岸および港湾構造物の機能的な設計が行なえると思われる。

### 2 潮位の計画水面について

各港の潮位の分布が、(1)式のピアソンⅠ型分布曲線式で与えられるとき、満潮面および干潮面の分布曲線は、(2)式で与えられる。

$$(1) Y = y_0 \left(1 + \frac{x}{a}\right)^{\frac{1}{\alpha}} \left(1 - \frac{x}{b}\right)^{\frac{1}{\beta}}$$

$$(2) Y = y_0 \left(\frac{1}{a} + \frac{1}{b}\right)^{\frac{1}{\alpha}} \left(1 + \frac{x}{a}\right)^{\frac{1}{\alpha}-1} \left(1 - \frac{x}{b}\right)^{\frac{1}{\beta}-1}$$

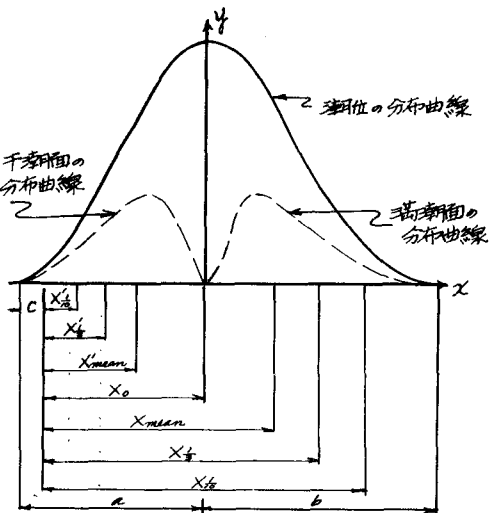
ここで、 $y_0$ はモード、 $a, b$ は元々示された潮位と下限の潮位および上限の潮位との差、 $\alpha$ は定数、 $\Delta x$ は階級値である。

(1)式、潮位の計画水面を  $X_m$  とすると、 $X_m$  は

$$(3) X_m = (a - c) + x_m$$

で与えられる。これで、 $x_m$  は、(2)式で与えられる満潮面あるいは干潮面の分布曲線の確率密度から求められる性質の潮位で、モードの潮位からの高さで与えられる。また、 $c$  は最低の潮位以下の潮位である。

図-1 潮位の計画水面



たとえば、図-1に示したように、潮位の計画水面とし、かつて、 $X_{10}, X_{50}, X_{mean}, X_0, X'_{mean}, X'_{50}, X'_{10}$  を求めた場合、(3)式から、式を出せ。

$$(4) X_{10} = (a - c) + x_{10}$$

$$(5) X_{50} = (a - c) + x_{50}$$

$$(6) X_{mean} = (a - c) + x_{mean}$$

$$(7) X_0 = (a - c)$$

$$(8) X'_{mean} = (a - c) - x'_{mean}$$

$$(9) X'_{50} = (a - c) - x'_{50}$$

$$(10) X'_{10} = (a - c) - x'_{10}$$

となる。すなはち、 $x_{10}, x_{50}, x_{mean}, x_0$  および  $x'_{10}, x'_{50}, x'_{mean}$  は、それぞれ  $x_{10} = \frac{N}{20}, x_{50} = \frac{N}{2}, x_{mean} = \frac{N}{2}$  および  $x'_{10} = \frac{N'}{30}, x'_{50} = \frac{N'}{8}, x'_{mean} = \frac{N'}{2}$  である。ここで、 $N$  および  $N'$  は、満潮面および干潮面の全頻度で、これらは潮位分布のモード  $y_0$  に等しい。

### 3. 各港の潮位分布曲線について

潮位の分布は、(1)式のピアソンI型分布曲線によつて十分にあらわすことができるが、(2)式の満潮面が干潮面の分布曲線は、定数レの値を、それを他の範囲から求めたほうが、実際の満潮面および干潮面の分布曲線によく合う。

したがつて、(2)式の定数レを、満潮面の分布レ、干潮面の分布レとすると、それとの分布曲線は、

$$(11) \quad Y = y_0 \left( \frac{1}{a} + \frac{1}{b} \right) V_b x \left( 1 + \frac{x}{a} \right)^{b-a-1} \left( 1 - \frac{x}{b} \right)^{b-b-1} dx$$

(満潮面の分布曲線)

$$(12) \quad Y' = y_0 \left( \frac{1}{a} + \frac{1}{b} \right) V_a x \left( 1 + \frac{x}{a} \right)^{b-a-1} \left( 1 - \frac{x}{b} \right)^{b-b-1} dx$$

(干潮面の分布曲線)

となり、それとの式から、各港の潮位の計画水面、 $X_{\frac{1}{2}}$ 、 $X_{\frac{1}{3}}$ 、 $X_{mean}$ 、 $X_o$ 、 $X'_{mean}$ 、 $X_{\frac{1}{2}}$ 、 $X'_{\frac{1}{2}}$ が求められればよい。

たとえば、ある港における潮位の分布を、(11)式のピアソンI型分布曲線式で与えた場合、その港の潮位 $X_{\frac{1}{2}}$ は、(5)式から

$$X_{\frac{1}{2}} = (a - c) + X_{\frac{1}{3}}$$

で与えられ、 $X_{\frac{1}{3}}$ は、(11)式から

$$(13) \quad \int_{2\sqrt{\frac{b}{a}}}^b y_0 \left( \frac{1}{a} + \frac{1}{b} \right) V_b x \left( 1 + \frac{x}{a} \right)^{b-a-1} \left( 1 - \frac{x}{b} \right)^{b-b-1} dx = -\frac{y_0}{a}$$

となる。①、②式の関係から、(13)式は、

$$(14) \quad \left( 1 + \frac{X_{\frac{1}{3}}}{a} \right)^{b-a} \left( 1 - \frac{X_{\frac{1}{3}}}{b} \right)^{b-b} = -\frac{1}{a} = 0.167$$

と見て、(14)式に定数 $a$ 、 $b$ 、 $V_b$ を与えると、 $X_{\frac{1}{3}}$ が求まる。同様にして、 $X_{\frac{1}{2}}$ 、 $X_{mean}$ 、 $X'_{mean}$ 、 $X_{\frac{1}{2}}$ 、 $X'_{\frac{1}{2}}$ も、

$$(15) \quad \left( 1 + X_{\frac{1}{2}}/a \right)^{b-a} \left( 1 - X_{\frac{1}{2}}/b \right)^{b-b} = 0.05$$

$$(16) \quad \left( 1 + X_{mean}/a \right)^{b-a} \left( 1 - X_{mean}/b \right)^{b-b} = 0.5$$

$$(17) \quad \left( 1 + X'_{mean}/a \right)^{b-a} \left( 1 - X'_{mean}/b \right)^{b-b} = 0.5$$

$$(18) \quad \left( 1 + X'_{\frac{1}{2}}/a \right)^{b-a} \left( 1 - X'_{\frac{1}{2}}/b \right)^{b-b} = 0.167$$

$$(19) \quad \left( 1 + X'_{\frac{1}{2}}/a \right)^{b-a} \left( 1 - X'_{\frac{1}{2}}/b \right)^{b-b} = 0.05$$

から求められる。ただし、定数 $a$ 、 $b$ 、 $V_b$ 、 $V_a$ は各港で異なり、それらの港の潮位の分布とピアソンI型分布曲線の型で定まる。

表-1 各港の計画水面(cm)

港名	$V_b (x10^{-3})$	$V_a (x10^{-3})$	$X_{\frac{1}{2}}$	$X_{mean}$	$X_o$	$X'_{mean}$	$X_{\frac{1}{2}}$	$X'_{\frac{1}{2}}$
東京	3.26	1.70	203.5	193.0	174.0	130.0	59.5	23.5
名古屋	1.70	1.52	262.5	247.4	218.5	152.0	48.5	20.0
神戸	3.48	2.30	166.0	152.5	139.5	100.0	44.5	16.0
横浜	2.11	1.83	193.5	181.0	168.5	120.0	56.5	24.5
基隆	4.03	2.14	173.5	164.0	147.4	110.0	51.0	20.0
宮古	10.10	1.84	139.0	132.5	122.0	100.0	43.0	14.5
姫路	3.10	2.78	179.5	167.5	146.0	100.0	47.5	20.5
宇野	2.02	1.50	264.0	247.0	216.5	150.0	71.0	35.0
油津	3.22	1.70	209.5	197.4	176.5	130.0	58.5	22.5
三沢	0.66	0.65	530.0	526.0	450.0	300.0	127.5	46.5

### 4. 結び

表-1は、日本沿岸における主な10港について求めた潮位の計画水面の直である。

このように、潮位の分布がピアソンI型分布曲線であらわせらるれば、潮位の計画水面は、その確率密度から、 $X_{\frac{1}{2}}$ 、 $X_{\frac{1}{3}}$ 、 $X_{mean}$ 、 $X_o$ 、 $X'_{mean}$ 、 $X_{\frac{1}{2}}$ 、 $X'_{\frac{1}{2}}$ などの値を置くことができる。また、表-1に求めた日本沿岸の各港の潮位 $X_{\frac{1}{2}}$ 、 $X_{\frac{1}{3}}$ 、 $X_{mean}$ 、 $X_o$ 、 $X'_{mean}$ 、 $X_{\frac{1}{2}}$ は、これら統計的の意義のあら値で、これらの値を、海岸および港湾構造物の潮位の計画水面レレでもうらすのがよしと考へる。一方、潮汐の変化の歩み、日本海での地図は、もちろん、この表示方法は成立しないこととも確かめられた。

### 参考文献

- 久宝、竹沢、天壁、"潮位の頻度分布に関する考察," 第23回土木学会年譲、昭和43年10月
- 久宝、竹沢、天壁、"ピアソン型分布による海の波," 第15回海岸講演会講演集、昭和43年12月
- 久宝、竹沢、"潮位のピアソンI型分布について," 第24回土木学会年譲、昭和44年9月
- 海上保安庁、"潮汐表."